

مقدمه

قوس‌های رودخانه به دلیل اثر نیروهای گریز از مرکز و تشکیل جریان ثانویه باعث تغییر الگوی جریان شده به گونه‌ای که بیشینه‌ی سرعت جریان به تدریج از قوس درونی در ابتدای خم به قوس خارجی منتقل می‌شود. در اثر وجود جریان‌های ثانویه تغییرات عرضی سرعت نیز تغییر می‌کند به گونه‌ای که در خم، جریان سطحی به سوی قوس بیرونی و جریان‌های عمقی به سوی قوس درونی حرکت کرده جریان حزلونی شکلی را به وجود می‌آورند. در اثر این تغییر الگوی جریان، حرکت رسوب از قوس بیرونی به سمت قوس درونی است. در نتیجه‌ی تداوم این انتقال آبستگی در محل پاشنه‌ی قوس بیرونی و رسوب گذاری در قوس درونی رخ می‌دهد. بیشینه‌ی میزان آبستگی نیز در محلی که قدرت جریان‌های ثانویه و حزلونی زیاد است مشاهده می‌شود. چاله‌ی تشکیل شده باعث ناپایداری ساحل و فرسایش شدید می‌گردد. روش‌های متفاوتی برای حفاظت ساحل در قوس‌ها متداول است که معمولاً به دو دسته روش‌های مستقیم یا روش‌های پوششی و روش‌های غیر مستقیم یا غیر پوششی تقسیم می‌شوند، در روش‌های غیر مستقیم با اصلاح یا تغییر الگوی جریان تلاش می‌شود تا میزان آبستگی کاهش و یا کنترل گردد. در حالی که در روش‌های مستقیم با استفاده از مصالح مقاوم فرسایش سواحل کنترل می‌گردد. دیوار حائل بتی، سنگ و سیمان و یا شمع و پانل، از جمله روش‌های مستقیم می‌باشد که به ویژه در مناطق شهری و یا صنعتی و یا محل ایستگاههای پمپاژ استفاده می‌شود. هزینه‌های عمدۀ این روش بستگی به عمق کارگذاری پی دارد که خود تابعی از بیشینه‌ی عمق آبستگی در قوس بیرونی است و در صورتی که بتوان از میزان آن کاست صرفه جویی زیادی در احداث دیواره‌ی حائل خواهد شد. یکی از روش‌هایی که می‌تواند مورد استفاده قرار گیرد کارگذاری تیغه‌ی افقی در دیواره‌ی قوس خارجی است. عملکرد تیغه‌ی افقی در این جا شبیه عملکرد طوقه در محل پایه‌های پل است. (بروسزو رادکیوی [۵]، سینگ و همکاران [۱۱]) به گونه‌ای که با نصب آن می‌توان باعث تغییر جهت جریان‌های ثانویه‌ی روبه پایین گردید و از برخورد مستقیم آن به محل پایه‌ی پل جلوگیری و در نتیجه میزان عمق آبستگی را کاهش داد.

زراتی و همکاران [۱۴] با قرار دادن طوقه‌ای اطراف پایه‌ی پل مستطیلی شکل که دارای لبه‌های گرد شده بود، به این نتیجه رسیدند که افزایش عرض طوقه و همچنین کاهش عمق کارگذاری باعث کاهش آبستگی اطراف پایه‌ی پل می‌شود. به دلیل پیچیدگی‌های

بررسی آزمایشگاهی اثر تیغه‌ی افقی بر توبوگرافی بستر در خم ۹۰ درجه

علیرضا رضانیا^۱، محمود شفاعی بجستان^۲ و سید محمود کاشنی پور^۳
تاریخ دریافت: ۸۷/۱۲/۴ تاریخ پذیرش: ۸۸/۳/۲۰

چکیده

ساحل خارجی خم رودخانه‌ها به دلیل نحوه شکل گیری الگوی جریان به ویژه جریان‌های ثانویه در خم، در معرض فرسایش شدید می‌باشد. از این رو ضروری است تا حفاظت گردد. روش‌های حفاظتی باید با در نظر گرفتن بیشینه‌ی عمق فرسایش طراحی و اجرا شوند. روش‌های کاهش عمق آبستگی باعث کاهش هزینه‌های روش‌های حفاظتی می‌گردد. در این مقاله کاربرد تیغه‌ی افقی به منظور بررسی میزان تاثیر آن در کاهش عمق آبستگی مورد مطالعه قرار گرفته است. برای این منظور خم ۹۰ درجه در آزمایشگاه هیدرولیک ساخته شد و اثر تیغه‌ی افقی را که در طول قوس خارجی در برابر جریان جلو آمده بر کاهش فرسایش و توبوگرافی بستر در آبراهه‌های روباز بررسی گردید. نتایج آزمایش‌ها نشان داد که این روش در کاهش آبستگی و یکنواخت نمودن توبوگرافی بستر کاملاً موثر است. آزمایش‌ها برای تیغه به عرض ۷۵ میلیمتر در چهار عمق کارگذاری ۰، ۲۰، ۴۰ و ۶۰ درصد، بیشینه‌ی عمق آبستگی برای حالت بدون تیغه انجام شد و نتیجه گیری شد که قرار گیری تیغه در ۴۰ درصد بیشینه‌ی عمق آبستگی حالت بهینه را دارا بوده و باعث ۴۴/۵ درصد کاهش در بیشینه‌ی عمق آبستگی نسبت به حالت بدون کارگذاری تیغه می‌شود.

واژه‌های کلیدی: قوس، چاله‌ی فرسایش، تیغه‌ی افقی، رقوم بستر و حفاظت ساحل

۱ نویسنده‌ی مسئول و دانشجوی دکتری سازه‌های آبی، دانشگاه شهید چمران اهواز a.r.rezania@gmail.com

۲ استاد دانشکده مهندسی علوم آب، دانشگاه شهید چمران اهواز

۳ دانشیار دانشکده مهندسی علوم آب، دانشگاه شهید چمران اهواز

۱۵ درجه تا حدود زاويه‌ی ۹۰ درجه از نزديکي جداره‌ی داخلی به مجاور جداره‌ی خارجي منتقل می شود و پس از آن تا انتهای قوس در همین بخش باقی می ماند. همچنین مقدار آن به سمت انتهای قوس افزایش می يابد که در نيمه‌ی دوم قوس به علت تغييرات سرعت طولي، مقدار فرسايش کاهش و سپس افزایش می يابد و ييشينه‌ی آن در نزديکي انتهای قوس رخ می دهد. دهقاني و همكاران [۱] تغييرات بستر در آبراهه‌های آبرفتی را در قوس ۱۸۰ درجه مورد مطالعه قرار دادند. نتيج به دست آمده از آزمایش نشان داد که در تمامی موارد آزمایش در نيمه‌ی نخست قوس، يك تپه‌ی رسوبی در قوس داخلی و يك چاله‌ی فرسايشي رو به روی اين تپه‌ی رسوبی شكل می گيرد. همچنین در نيمه‌ی دوم قوس تپه‌ی رسوبی در قوس داخلی و چندين ناحيه‌ی فرسايishi در قوس خارجي به وجود می آيد که محل چاله‌های فرسايishi تابعی از شرایط هيdroليکي جريان بوده و با افزایش عدد فروود، به سمت راس قوس جابه جا می شوند.

روکا و همكاران [۱۰] با انجام آزمایش‌هایي در يك قوس ۱۸۶ درجه نشان دادند که قرار دادن تيغه‌ی افقی در طول دیواره‌ی قوس خارجي می تواند عمق آبشتتگی را کاهش دهد. نتيج آنها نشان داد که عمق کارگذاري تيغه‌ی افقی می تواند بسيار موثر باشد. با توجه به مطالب بالا و با اين فرضيه که تيغه‌ی افقی می تواند در کاهش عمق چاله‌ی فرسايishi موثر باشد، اين بررسی انجام شده است. هدف اصلی از اين پژوهش شناخت ميزان تاثير عمق کارگذاري تيغه بر ميزان کاهش عمق چاله‌ی فرسايishi در يك خم تند ۹۰ درجه می باشد.

مواد و روش‌ها مدل فيزيكي

جهت انجام اين پژوهش فلومي با قوس تند ۹۰ درجه و با نسبت شعاع به عرض برابر دو ($R/B=2$)، با الگوبرداری از يكى از قوس‌های تند رودخانه‌ی کارون در محدوده‌ی اهواز، در آزمایشگاه



شكل ۱ - دستگاه bed profiler و نحوه قرارگيری بر فلوم آزمایشگاهی جهت اندازه گیری توپوگرافی بستر

mekanizm جريان در قوس رودخانه‌ها نسبت به مسیرهای مستقيم، مطالعه‌ی آبشتتگی در آبراهه‌های انحنا دار تا کنون مورد توجه بسیاری از پژوهشگران بوده است. يومائوکا و همكاران [۱۲] تاثير تغيير دび و هندسه (شعاع خم) را بر توپوگرافی بستر و الگوي جريان در کanal‌های پیچانرودي مطالعه کردند و نشان دادند که با افزایش دبي به ميزان دو برابر، چاله‌ی فرسايishi توسعه‌ای ييشتر می يابد و عمق آن نيز ييشتر می شود همچنین با افزایش شعاع تا ۶۰ درصد، چاله‌ی فرسايishi به پاين دست منتقل می شود. آنها در ادامه به مطالعه‌ی پیچانروdi نامنظم به همراه تحليل الگوي سرعت و محل شكل گيري چاله‌ی فرسايishi پرداخته و نشان دادند که چاله‌ی فرسايishi پس از راس قوس شكل می گيرد. ادگارد و برگز [۹] با انجام آزمایش بر روی کanal ۱۸۰ درجه با مقطع ذوزنقه‌اي شكل به بررسی تغييرات بستر و اندركش آن با ميدان سرعت پرداختند و علت نوسانی بودن بستر واقع در منطقه‌ی توسعه‌یافته (nimه دوم قوس) را ناشی از الگوي نوسانی بردار عرضي سرعت در امتداد طولي کanal يا همان جريان حلزوني شكل معرفی کردند. برگز [۳] با مطالعه‌ی آزمایشگاهی يك کanal قوسی ۱۸۰ درجه با مقطع ذوزنقه‌اي و بستر متتحرك، به بررسی الگوي جريان و تغييرات توپوگرافی بستر پرداخت و به اين نتيجه رسید که در نيمه‌ی نخست قوس چاله‌ی آبشتتگی عميق‌تر در محدوده‌ی مقاطع ۳۰ تا ۸۰ درجه و در ۱۷۸ تا ۱۶۰ درجه می باع عمك كمتر در محدوده‌ی مقاطع ۱۲۰ درجه با اتفاق می افتد. داسيلوا [۶] محل‌های فرسايish و رسوب گذاري در رودخانه‌های پیچانروdi را برای دو انحنای تند و ملائم ارائه کرد. داسيلوا و يالين [۷] الگوي جريان در مئاندرهای سينوسی با جريان آشفته، پايدار و زبر را به صورت آزمایشگاهی مورد بررسی قرار دادند. نتيجه‌ی اين مطالعات نشان می دهد محل فرسايish و رسوب‌گذاري در پیچانرودها متفاوت بوده و به زاويه‌ی انحنای قوس بستگی دارد. بلانگرت و گراف [۴] با انجام آزمایش‌هایي بر روی يك فلوم قوسی ۱۲۰ درجه با بستر متتحرك محل ييش ترين فرسايish بستر در امتداد قوس و همچنین الگوي جريان ثانويه تشکيل شده در رأس قوس را مورد بررسی قرار دادند. جريان ثانويه‌ی تشکيل شده در مقطع عرضي قوس شامل دو نوع جريان چرخشی بوده، جريان چرخشی در جهت عقربه‌های ساعت و به سوی قوس داخلی است (سلول ناحيه مرکзи) و سلول چرخشی که سلول کناره‌ی خارجي ناميده شده و جهتی خلاف جهت عقربه‌های ساعت دارد، در کناره‌ی خارجي قوس و نزديک سطح آب تشکيل می گردد. اين پژوهشگران عامل ايجاد دومين سلول ثانويه در نواحي خارجي قوس را ناهمگني تنش های قائم رينولدز داخل مقطع ييان کرده و دومين سلول ثانويه‌ی ايجاد شده در نواحي خارجي قوس عنوان کرده‌اند. جلوگيري از فرسايish دیواره‌ی خارجي قوس عنوان کرده‌اند. صالحی نيشابوري و اقبال زاده [۲] اثر جريان را بر توپوگرافی بستر در قوس ۱۸۰ درجه مورد مطالعه قرار دادند. نتيج بدهست آمده از پژوهش‌های آنان نشان داد که محل ييش ترين فرسايish از زاويه‌ی

مانومتری که بالا دست سرریز مثلثی و به فاصله‌ی استاندارد قرار گرفته بود، استفاده شد.

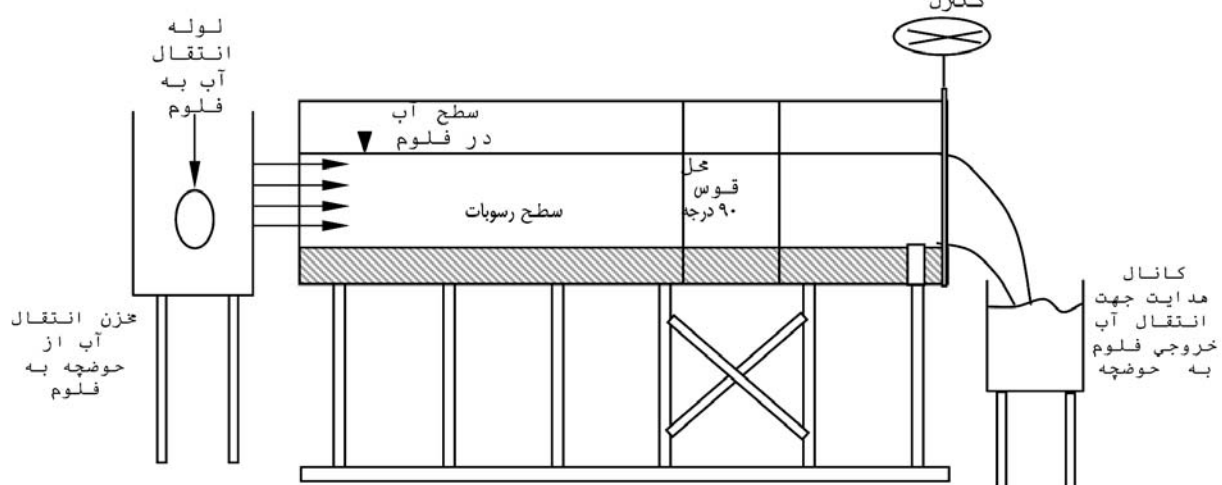
آنالیز آبعادی

با توجه به فیزیک مسئله‌ی مورد پژوهش، پارامترهای مهم و دخیل در بررسی این پدیده به صورت زیر می‌باشد:

$$f(\rho, v, \rho_s, \sigma, d_{50}, h_a, u_*, V, R_c, B, \theta_b, Z_f, e_{\max}) = 0 \quad (1)$$

در رابطه‌ی (1) بخش نخست مربوط به پارامترها و ویژگی‌های سیال، بخش دوم مربوط به پارامترها و ویژگی‌های رسوب، بخش سوم مربوط به پارامترها و ویژگی‌های جریان، بخش چهارم مربوط به پارامترها و ویژگی‌های قوس و بخش پنجم مربوط به پارامترها و ویژگی‌های تیغه افقی است که در این رابطه ρ ، دانسیته جریان، u_* ، لزجت جریان، R_c ، دانسیته رسوب (ویژگی‌های رسوبی)، S ، انحراف استاندارد هندسی ذرات، d_{50} ، اندازه‌ی ذره‌ای از رسوبات که ۵۰ درصد ذرات از آن کوچک‌تر است، h_a ، عمق معادل جریان یکنواخت مستقیم که در یک آبراهه‌ی مستطیل شکل مستقیم با شیب انژی S ، عرض B ، اندازه‌ی ذرات بستر d_{50} و σ انحراف معیار ذرات و دبی Q مشابه قوس بدست می‌آید، U^* سرعت بررشی که در حقیقت مقدار $\sqrt{g.h_a}$ می‌باشد، V سرعت جریان عبوری بالا دست قوس، R_c شعاع انحنای قوس مرکزی، B عرض فلوم، Z_f زاویه‌ی قوس، θ_b رقوم قرارگیری تیغه‌ی افقی و e_{\max} بیشینه‌ی عمق آبستگی است. بر اساس پارامترهای بالا روابط بدون بعد زیر با استفاده از تئوری باکینگهام به دست آمد.

$$f\left(\frac{u_* \cdot d_{50}}{v}, \frac{v}{\sqrt{g.h_a}}, \theta_b, \frac{R_c}{B}, \frac{Z_f}{h_a}, \frac{d_{50}}{h_a}, \frac{\rho_s}{\rho}, \frac{e_{\max}}{h_a}\right) = 1 \quad (2)$$



شکل ۲ - مقطع و پلان شماتیک فلوم آزمایشگاهی و قوس ۹۰ درجه

هیدرولیک دانشکده‌ی مهندسی علوم آب دانشگاه شهید چمران ساخته شد. ساخت فلوم با دیواره‌های پلکسی گلاس و اسکلت فلزی انجام شد. همان‌گونه که در شکل (۲) ملاحظه می‌شود، جهت تامین جریان یکنواخت، مخزنی در ابتدای فلوم تعییه شده و برای جلوگیری از انتقال موج سطحی مخزن به فلوم از یک سری صفحات مشبک در ابتدای فلوم استفاده گردید. جهت موازی نمودن خطوط جریان در ابتدای قوس، طول فلوم در بالا دست تا حد امکان، بلند طراحی شد (۴ متر).

زاویه‌ی قوس ۹۰ درجه و شعاع انحنا از محور مرکزی ۸۰ سانتی‌متر است. ارتفاع فلوم ۷۰ سانتی‌متر و ارتفاع رسوب در کف فلوم ۳۶ سانتی‌متر می‌باشد که از مصالح دانه بندی شده از جنس طبیعی به اندازه‌ی متوسط (d50) برابر ۱/۶۲ میلی‌متر با ضریب یکنواختی ۱/۳ استفاده شد. طول پایاب فلوم ۲ متر است که در انتهای آن یک تنظیم کننده‌ی سطح (دربیچه‌ی کشویی) نصب شده است. جهت سنجش دبی یک سرریز مثلثی لبه‌ی تیز با زاویه‌ی راس ۹۰ درجه در مخزن انتهایی فلوم نصب شد. برداشت پروفیل سه بعدی بستر در انتهای هر آزمایش (پس از به تعادل رسیدن جریان و رسوب)، به وسیله‌ی دستگاه Bed profiler با دقت ۱ میلی‌متر طولی، ۱ میلی‌متر عرضی، ۰/۴ میلی‌متر عمقی انجام شد. جهت جایه‌جایی دستگاه در امتداد مسیر فلوم، با استفاده از لوله‌های بدون درز، دو ریل موازی در بالای فلوم نصب و دستگاه بر روی آنها مستقر گردید. شکل (۲) موقعیت دستگاه را نشان می‌دهد.

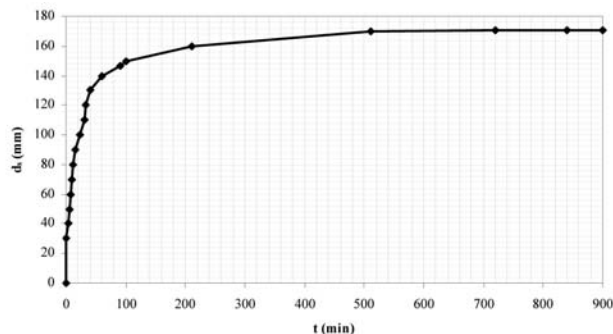
در تمامی آزمایش‌ها جهت جلوگیری از آبستگی در زمان شروع آزمایش ابتدا دربیچه‌ی انتهایی کاملاً بسته می‌شود و با دبی بسیار کمی عمق آب در فلوم افزایش می‌یافتد و عمق مورد نیاز جریان (۲۰ سانتی‌متر) باز کردن دربیچه‌ی انتهایی تنظیم می‌گردد. برای تعیین دبی از سرریز مثلثی و جهت تعیین ارتفاع آب عبوری از سرریز، از

زمان تعادل نسبی ۱۴ ساعته در زاویه های ۸۰ تا ۹۰ درجه‌ی دیواره‌ی خارجی قوس که بیشترین فرسایش در آنچارخ داده است، مشاهده می‌گردد. در این شکل محور عمودی عمق فرسایش بر حسب میلیمتر و محور افقی زمان بر حسب دقیقه می‌باشد.

جدول ۱ - تعیین دبی بحرانی جهت ایجاد بیشینه‌ی پتانسیل قابل فرسایش

شرایط جریان ورودی	میانگین سرعت ورودی	Lit/S
Fr	m/s	دبي/S
۰/۲۲۴۶	۰/۳۱۴۵	۲۵
۰/۲۶۷۹	۰/۳۷۵	۳۰
۰/۳۱۲۵	۰/۴۳۷۵	۳۵
۰/۳۵۷۱	۰/۵	۴۰
۰/۴۰۱۸	۰/۵۶۲۵	۴۵

شکل ۳- زمان تعادل نسبی برای زاویه های ۹۰-۸۰ درجه دیواره‌ی خارجی قوس



براساس شکل (۳) میزان فرسایش در زمان تعادل نسبی، بیشینه و برابر ۱۷۱ میلیمتر که در زمان ۹۰ دقیقه برابر ۱۴۴ میلیمتر است، این امر نشانگر آن است که ۸۴٪ فرسایش در طی ۹۰ دقیقه‌ی ابتدای آزمایش می‌باشد، بنابراین آزمایش‌ها برای زمان ۹۰ دقیقه برنامه‌ریزی شد. جدول (۱) حالت‌های گوناگون مورد آزمایش جهت تعیین دبی بیشینه به لحاظ ایجاد بیشینه‌ی پتانسیل قابل فرسایش با توجه به عمق اولیه رسوب را نمایش می‌دهد.

عمق آب در تمام آزمایش‌ها ثابت و برابر با ۲۰ سانتی متر در نظر گرفته شد، تا پذیده‌ی آبشتگی نسبت به تغییرات عمق کارگذاری آن بررسی شود. با توجه به هدف این پژوهش متغیرها شامل عمق کارگذاری صفحه‌ی افقی در صفر، ۲۰، ۴۰ و ۶۰ درصد، بیشینه‌ی عمق آبشتگی در زمان تعادل به ضخامت ۸ میلی‌متر می‌باشد.

زاویه‌ی قرارگیری صفحه‌ی افقی نسبت به دیواره‌ی فلوم آزمایشگاهی ۹۰ درجه و همچنین طول صفحه‌ی افقی از ابتدای

در رابطه‌ی بالا پارامتر نخست عدد رینولدز بوده که در تمامی آزمایش‌ها مقدار آن در محدوده‌ی جریان متلاطم (بستر زبر) می‌باشد، پارامتر دوم عدد فرود جریان بوده که در تمامی آزمایش‌ها بدون تغیه مقدار آن ثابت نگه داشته شد، پارامتر سوم زاویه‌ی قوس، پارامتر چهارم نسبت شعاع مرکزی قوس به عرض فلوم، پارامتر پنجم عمق کارگذاری تغیه نسبت به ارتفاع آب در فلوم، پارامتر ششم نسبت میانگین اندازه‌ی ذرات به عمق آب در فلوم، پارامتر هفتم نسبت جرم حجمی ذرات به جرم حجمی آب و پارامتر هشتم نسبت بیشینه‌ی عمق آبشتگی به ارتفاع آب در فلوم می‌باشد. در رابطه‌ی بالا با ثابت در نظر گرفتن شرایط هیدرولیکی ثابت در آزمایش‌های گوناگون عدد فرود ثابت در نظر گرفته شد و همچنین $\frac{R_c}{h_a} = 0.0081$ ثابت بوده و در پارامترهای $R_c = \frac{h_a}{B}$ رابطه‌ی نهایی بدون بعد ارائه نشده‌اند، ولی بررسی تاثیر Z_f در مقابله با $\frac{e_{max}}{h_a}$ برای تمام آزمایش‌ها با تغیه و بدون تغیه افقی در بخش بحث و نتایج آمده است، بنابراین رابطه‌ی نهایی بدون بعد با در نظر گرفتن عدد فرود ثابت برای تمامی آزمایش‌ها به صورت زیر تغییر یافت.

$$\frac{e_{max}}{h_a} = f(\theta b, Z_f) \quad (3)$$

مواد و روش‌ها

در این پژوهش ابتدا آزمایش‌های اولیه جهت یافتن آستانه حرکت در فلوم دارای قوس ۹۰ درجه با عرض یکنواخت ورودی و خروجی ۴۰ سانتی متر انجام گرفت، به گونه‌ای که دبی $25/16$ لیتر بر ثانیه و عمق ثابت جریان 20 سانتی متر آستانه حرکت ذرات، $V_c = 0.95$ که در آن $V_c = 7$ و $V = 4$ به ترتیب سرعت جریان در آستانه حرکت و میانگین سرعت جریان می‌باشند، برآورد شد. پس از انجام آزمایش‌های مقدماتی و مقایسه‌ی نتایج، مکان وقوع بیشینه‌ی عمق آبشتگی در دیواره‌ی قوس خارجی در زوایای ۸۰ تا ۹۰ درجه مشاهده شد. جهت بررسی میزان آبشتگی و همچنین بررسی الگوی جریان در محل دیواره‌ی قوس ۹۰ درجه آزمایش‌ها برای دبی‌های 30 ، 35 ، 40 ، 45 لیتر بر ثانیه و عمق ثابت جریان 20 سانتی متر، در فلوم آزمایشگاهی (بدون تغیه افقی) برنامه‌ریزی و انجام شد. توضیح این که به منظور جلوگیری از حرکت مصالح رسوبی از مسیر مستقیم بالا دست، رسوبات سطحی این مسیر با چسب اسپری تثبیت شدند و یا به بیان دیگر در طول آزمایش‌ها هیچ انتقال رسوبی از بالادست مشاهده نشد. این بدان معنی است که هرچند دبی جریان بیش از شرایط آستانه حرکت بوده است، ولی می‌توان گفت که شرایط آب زلال در همه‌ی آزمایش‌ها حاکم بوده است. جهت تعیین زمان نسبی به تعادل رسیدن چاله‌ی فرسایشی آزمایش طولانی با دبی 45 لیتر بر ثانیه (بحرانی ترین حالت) انجام شد، در طول این آزمایش 14 ساعته، عمق آبشتگی در دیواره‌ی قوس خارجی و زوایای گوناگون قوس به وسیله‌ی Point Gage اندازه‌گیری و یادداشت برداری شد که در شکل (۳) نتایج آزمایش

اندازه‌گیری پروفیل بستر به گونه‌ای عمل گردید، که در مسیر مستقیم ورودی، برداشت توپوگرافی بستر از فاصله ۸۰ سانتی‌متر قبل از زاویه صفر درجه قوس، در مسیر قوس ۹۰ درجه از ابتدای مسیر قوس (زاویه صفر درجه) تا انتهای مسیر قوس (زاویه ۹۰ درجه)، در مقاطع عرضی (عمود بر دیواره‌ها) و در طول (موازی دیواره‌ها) به فاصله‌ی هر ۲/۵ درجه و در مسیر مستقیم خروجی از انتهای مسیر قوس (زاویه‌ی ۹۰ درجه)، برداشت توپوگرافی بستر، تا انتهای فلوم (پیش از دریچه‌ی کشویی)، به فاصله‌ی هر ۱۰ سانتی‌متر انجام گردید.

نتایج و بحث حالت بدون تیغه

همان گونه که در بخش‌های گذشته نیز توضیح داده، این پژوهش در راستای بررسی اثر تیغه‌ی افقی در کاهش فرسایش بستر در قوس خارجی برنامه‌ریزی شد و پارامترهای بدون بعد مهم و موثر این پدیده استخراج گردید. نخستین سری آزمایش‌ها که بدون حضور تیغه‌ی افقی انجام گرفت به عنوان آزمایش‌های شاهد، در نظر گرفته شد و هدف از این آزمایش‌ها برآورد شرایط فرسایش بود. این آزمایش‌ها با ۴ دبی، ۳۰، ۳۵، ۴۰ و ۴۵ لیتر بر ثانیه انجام شد. دبی ۴۵ لیتر بر ثانیه با توجه به ایجاد بستر کاملاً متحرک به عنوان دبی پایه برای آزمایش‌های با تیغه در نظر گرفته شد. مجموعه شکل (۶) نتایج آزمایش‌های شاهد را در دبی‌های یاد شده در قوس‌های داخلی و خارجی از زاویه‌ی صفر تا ۹۰ درجه را نشان می‌دهد.

همان گونه که در شکل (۶) مشاهده می‌شود رسوب گذاری در دیواره‌ی داخلی در طول قوس افزایش می‌یابد که این موضوع به دلیل افزایش قدرت جریان ثانویه در انتهای قوس بوده و باعث انتقال مصالح رسوبی از قوس خارجی به سمت قوس داخلی می‌گردد. از شکل‌ها و نمودارهای (۶) استبطان می‌شود که میزان آبستنگی در دیواره خارجی قوس بسیار شدید و رسوب‌گذاری و فرسایش در دیواره داخلی نیز به همین نحو از مقطع زاویه‌ی صفر درجه تا مقطع زاویه‌ی ۹۰ درجه به گونه‌ی غیر خطی در حال افزایش است. به طور کلی بیش ترین آبستنگی در نزدیک زاویه‌ی ۸۰ تا ۹۰ درجه‌ی دیواره‌ی خارجی رخ می‌دهد.

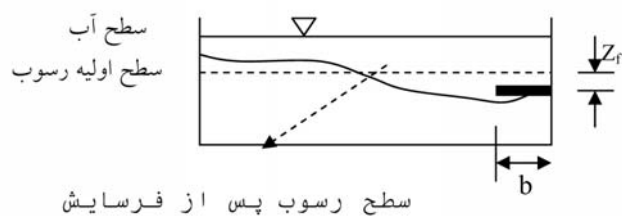
در این پژوهش با توجه به نتایج بدست آمده از فرسایش در حالت بدون تیغه که در نمودارهای بالا در محل قوس‌ها تغییرات پروفیل بستر ترسیم شد، به مقایسه‌ی برخی از فرمول‌های موجود جهت برآورد بیشینه‌ی عمق آبستنگی اقدام گردید، در این راستا از نتایج دهقانی و همکاران [۱]، [۱۳] و هافمن [۸] که برای قوس

قوس $(\theta b = 90^\circ)$ تا انتهای قوس $(\theta b = 0^\circ)$ در نظر گرفته شد. با محاسباتی که براساس شکل (۱) بدست آمد، میزان بیش ترین فرسایش در زمان انجام آزمایش (۹۰ دقیقه) برابر ۱۴۴ میلی‌متر می‌باشد و بر همین اساس اعمق کارگذاری صفحه‌ی افقی در ۴ سطح کارگذاری نسبت به سطح رسوبات مطابق جدول (۲) محاسبه و برنامه ریزی شد.

مقادیر جدول (۲) سطح بالایی صفحه‌ی افقی را نسبت به سطح بستر رسوبات نشان می‌دهند، به گونه‌ای که برای مقدار صفر درصد سطح صفحه هم سطح با بستر رسوبات و برای مقدار ۴۰ درصد سطح صفحه $56/6$ میلی‌متر پایین‌تر از سطح بستر رسوبات قرار داده شده است. شکل (۴) شمای کلی قرارگیری تیغه‌ی افقی را نمایش می‌دهد.



شکل ۴ - شمای کلی قرارگیری تیغه افقی در قوس



شکل ۵ - مقطع قرارگیری تیغه افقی در قوس خارجی

شکل (۴) نحوه‌ی قرارگیری تیغه‌ی افقی در قوس و شکل (۵) مقطع کارگذاری تیغه‌ی افقی را نمایش می‌دهد. برای بررسی اثر تیغه‌ی افقی به طور کلی تیغه در چهار عمق موردنی آزمایش قرار گرفت و تاثیر آن بر کاهش فرسایش با برداشت توپوگرافی بستر با استفاده از دستگاه bed profiler مورد آزمون قرار گرفت. جهت

جدول ۲ - موقعیت کارگذاری صفحه افقی بر حسب درصد بیشینه‌ی عمق آبستنگی

عمق کارگذاری نسبت به سطح رسوبات mm	درصد عمق کارگذاری نسبت به بیشینه‌ی عمق فرسایش	صفرا	۲۸/۸	۵۶/۶	۸۶/۴
۰	۴۰	صفرا	۲۰	۴۰	۶۰

است که در این پژوهش قوس مطالعه ۹۰ درجه است. از سوی دیگر در این مطالعه نسبت B/r تقریباً ثابت و در حدود ۲ است که قوس تندی بوده و نشانگر اختلاف بیشتر برای رابطه‌ی (۴) نسبت به سایر روابط می‌باشد. همچنین در این پژوهش میزان عمق آب بالا دست همواره ثابت و معادل ۲۰ سانتی‌متر در نظر گرفته شده است و تغییرات عدد فرود در حالت بدون تیغه با تغییرات دبی انجام و عمق آب همواره ثابت در نظر گرفته شد که خود می‌تواند عاملی برای عدم تطابق روابط ارائه شده با مقادیر اندازه‌گیری شده باشد.

حالات با تیغه

با توجه به آزمایش‌ها شاهد برای ایجاد بستر متحرک، دریچه‌ی انتهایی فلوم وظیفه تنظیم و کنترل دبی و سطح آب را دارا بود، لذا بر این اساس با باز کردن تدریجی دریچه‌ی انتهایی، دبی موردنظر به میزان ۴۵ لیتر بر ثانیه برای آزمایش‌ها با تیغه‌ی افقی تنظیم می‌شد و سطح آب در تراز ۲۰ سانتی‌متر بالای سطح رسوبر کنترل می‌گردید. تقریباً در تمامی آزمایش‌ها مشاهده گردید. نخستین بخش‌هایی که دانه‌ی رسوبر شروع به حرکت می‌کند نزدیک به قوس خارجی بوده و در ساعت‌های اولیه‌ی آزمایش‌ها حرکت رسوبرات از حدود زاویه‌ی ۱۵ تا ۲۰ درجه شروع و به قوس داخلی هدایت می‌شد. بدینهی است که هرچه قدرت جریان ثانویه در منطقه در حال توسعه بیشتر باشد، حرکت ذرات به سمت قوس داخلی زودتر انجام می‌گیرد. لازم به توضیح است که در آزمایش‌های بدون

۱۸۰ درجه فرمول‌های تجربی ارائه نموده‌اند، استفاده شد. در زیر فرمول‌های موردنظر آمده است:

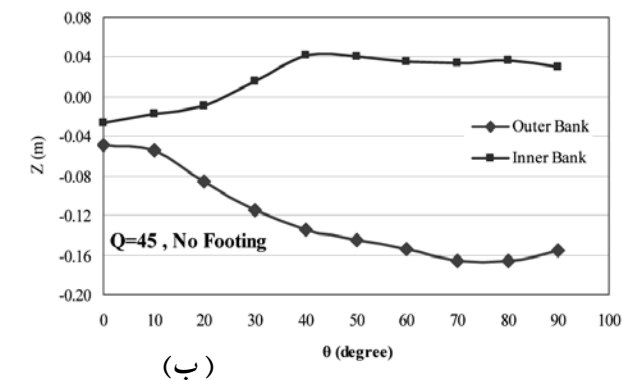
$$\frac{e_{\max}}{h_a} = 1.07 - \text{Log}\left(\frac{r}{B} - 2\right) \text{ for } (2 < \frac{r}{B} < 22) \quad (4)$$

$$\begin{cases} \frac{e_{\max}}{h_a} = -a \tanh(10 \times (\frac{r}{R_c} - b)) \\ a = 1.0676 + \frac{145.376}{1 + \exp(-51.36169 \times (Fr - 0.503))} \\ b = -0.485Fr + 1.15 \end{cases} \quad (5)$$

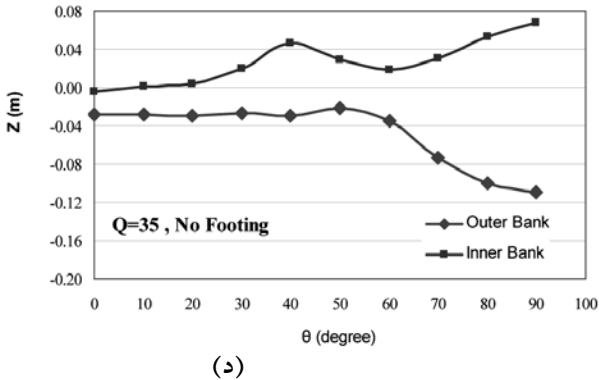
$$\frac{e_{\max}}{h_a} = -0.814 \tanh(10 \times (\frac{r}{R_c} - 0.16)) - 0.0135 \quad (6)$$

در رابطه‌های بالا ۱۰ ساعت محل بیشترین آبیستگی بوده و سایر پارامترها در بخش‌های گذشته تعریف شده‌اند. در جدول (۳) مقایسه‌ی بین بیشترین آبیستگی محاسباتی از فرمول‌های بالا و همچنین اندازه‌گیری شده در این پژوهش انجام شده است.

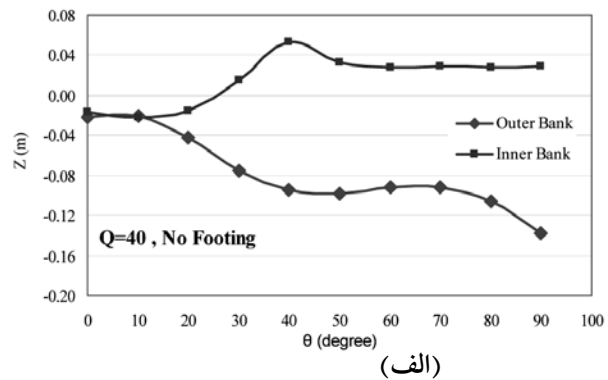
در جدول زیر مشاهده می‌شود که مقایر اندازه‌گیری شده با مقادیر محاسباتی از فرمول‌های بالا تطابق چندانی نداشته که مهم‌ترین دلیل آن منطبق بودن آن روابط برای قوس ۱۸۰ درجه بوده و این در حالی



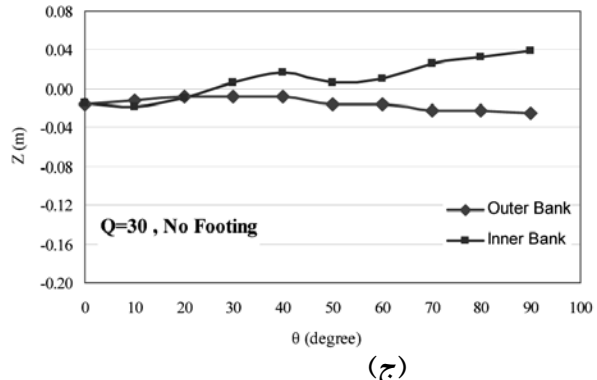
(ب)



(د)



(الف)



(ج)

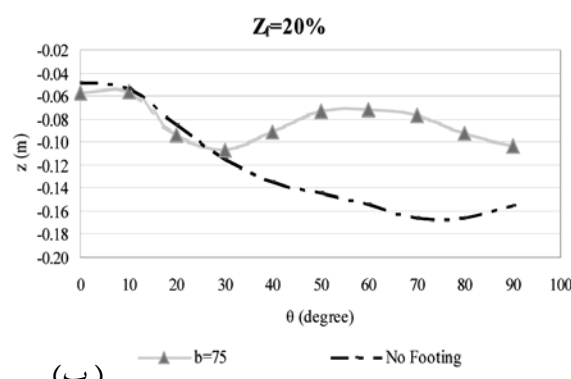
شکل ۶- نتایج آزمایش‌ها فرسایش بستر در قوس خارجی و رسوبر گذاری در قوس داخلی در حالت بدون تیغه (الف) دبی ۳۰ لیتر بر ثانیه (ب) دبی ۳۵ لیتر بر ثانیه (ج) دبی ۴۰ لیتر بر ثانیه (د) دبی ۴۵ لیتر بر ثانیه

جدول ۳- مقادیر محاسباتی و اندازه گیری شده بیشینه‌ی عمق آبشتستگی بدون تیغه‌ی افقی

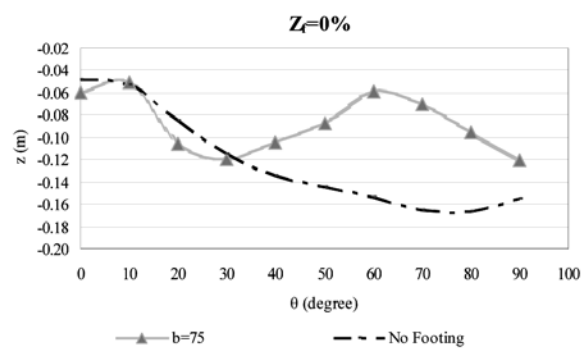
Q L/s	r/Rc	Fr	مقادیر محاسبه شده از رابطه‌ی (۴) m	مقادیر محاسبه شده از رابطه‌ی (۵) m	مقادیر محاسبه شده از رابطه‌ی (۶) m	مقادیر اندازه گیری شده m
۳۰/۰۰	۰/۹۶	۰/۲۷	----	-۰/۱۱	-۰/۱۷	-۰/۰۳۵
۳۵/۰۰	۱/۰۳	۰/۳۱	-۰/۴۶	-۰/۰۶	-۰/۱۷	-۰/۰۶۵
۴۰/۰۰	۱/۱۷	۰/۳۶	-۰/۳۱	-۰/۲۲	-۰/۱۷	-۰/۱۳۵
۴۵/۰۰	۱/۲۴	۰/۴۰	-۰/۲۸	-۰/۳۷	-۰/۱۷	-۰/۱۷۱

میلیمتر یعنی برای $b = 75$ در اعمق صفر، ۲۰، ۴۰ و ۶۰ درصد، بیشینه‌ی عمق آبشتستگی بررسی گردید. نتایج بدست آمده از تأثیر عمق تیغه‌ی افقی در تمامی آزمایش‌ها در شکل (۷) آمده است. در این شکل‌ها هر نمودار نمایانگر میزان فرسایش دیواره‌ی قوس خارجی در مجاورت تیغه‌ی افقی و فرسایش در حالت بدون حضور تیغه‌ی افقی است، از سوی دیگر شکل‌ها میزان فرسایش را برای عمق‌های گوناگون کارگذاری تیغه‌ی افقی نمایش می‌دهند.

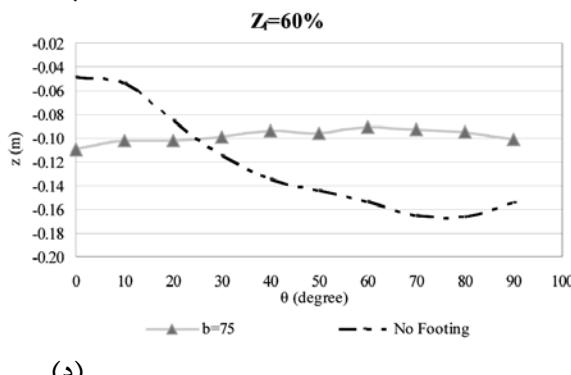
تیغه‌ی افقی پستی و بلندی‌های بستر در قوس داخلی کم تر و در قوس خارجی بیش تر بود، ولی با قرار دادن تیغه این حالت متعادل تر می‌شد. از سوی دیگر بیش ترین فرسایش به صورت میانگین در تمامی آزمایش‌های بدون تیغه در فاصله‌های ۸۵ تا ۶۵ درجه‌ی قوس خارجی روی داد و این در حالی بود که برای حالت با تیغه، بیش ترین فرسایش در زاویه‌های کمتر و بین ۴۵ تا ۲۰ درجه رخ می‌داد. آزمایش‌های بعدی مربوط به اثر تیغه‌ی افقی به عرض ۷۵



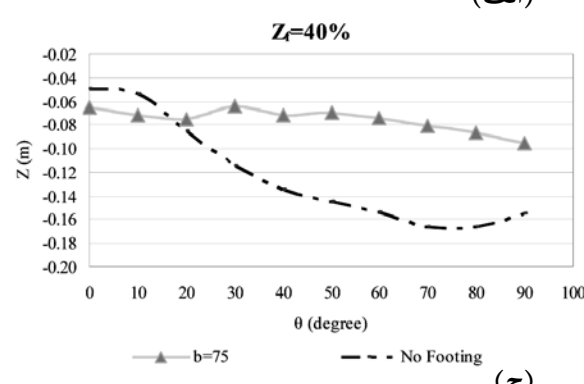
(ب)



(الف)

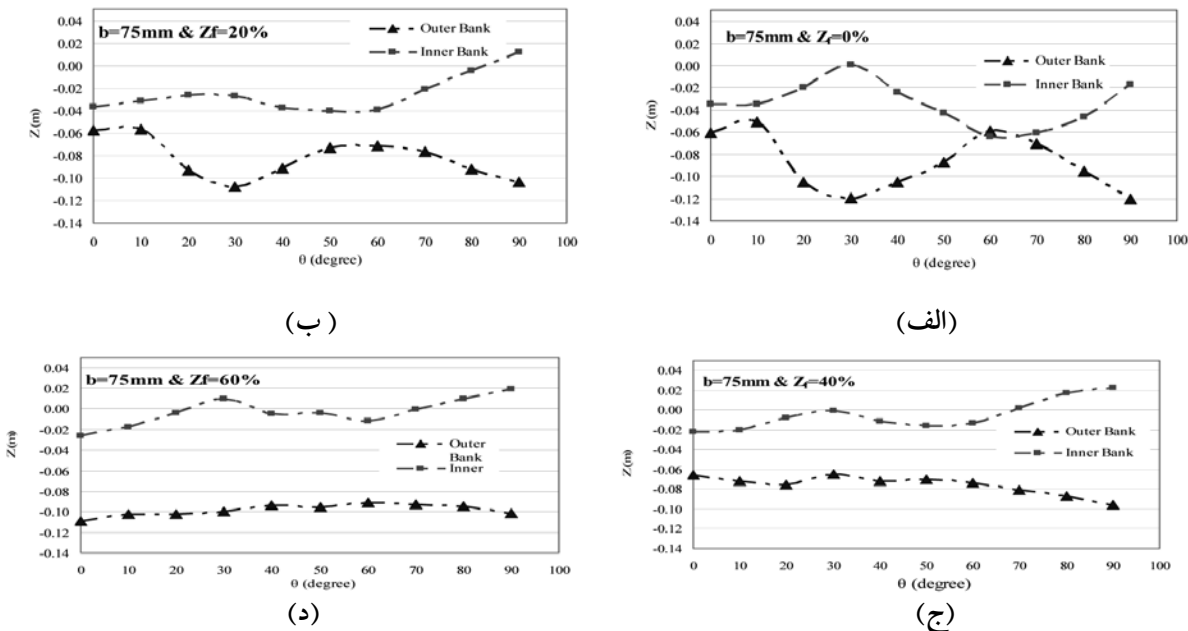


(د)



(ج)

شکل ۷- میزان فرسایش در مجاورت دیواره‌ی قوس خارجی در حالت بدون تیغه و با تیغه‌ی افقی به عرض ۷۵ میلیمتر
 (الف) با عمق کارگذاری ۰ درصد
 (ب) با عمق کارگذاری ۲۰ درصد
 (د) با عمق کارگذاری ۶۰ درصد
 (ج) با عمق کارگذاری ۴۰ درصد



شکل ۸- فرسایش و رسوب گذاری بستر در مجاورت دیواره قوس خارجی و داخلی برای تیغه ۷۵ میلیمتری

دیواره قوس خارجی و داخلی در شکل (۸) ارائه شده است که محور عمودی سطح توپوگرافی بستر بر حسب میلی متر، محور افقی زوایای مقاطع عرضی قوس بر حسب درجه، خط چین بالایی، میزان فرسایش دیواره خارجی و خط چین پایینی، میزان فرسایش و رسوب‌گذاری دیواره داخلی را نشان می‌دهد. با مقایسه شکل (۶) و شکل (۸) می‌توان دریافت که تاثیر احداث تیغه افقی در یکنواخت نمودن توپوگرافی بستر و کاهش فرسایش معنی دار است. در این پژوهش جهت بررسی دقیق‌تر تاثیر تیغه افقی بر توپوگرافی بستر، داده‌های آزمایشگاهی برداشت شده با استفاده از نرم افزار surfer در حالت بدون تیغه و با تیغه، با عرض ۷۵ میلیمتر و عمق کارگذاری متفاوت به صورت خطوط تراز ترسیم شده‌اند که در شکل (۹) برای تیغه‌ای به عرض ۷۵ میلیمتر برای عمق‌های کارگذاری متفاوت ترسیم شده است.

همان طوری که در شکل (۹) مشاهده می‌شود در حالت بدون تیغه افقی بیشینه عمق آبیستگی (emax) در کنار دیواره و چسبیده به آن

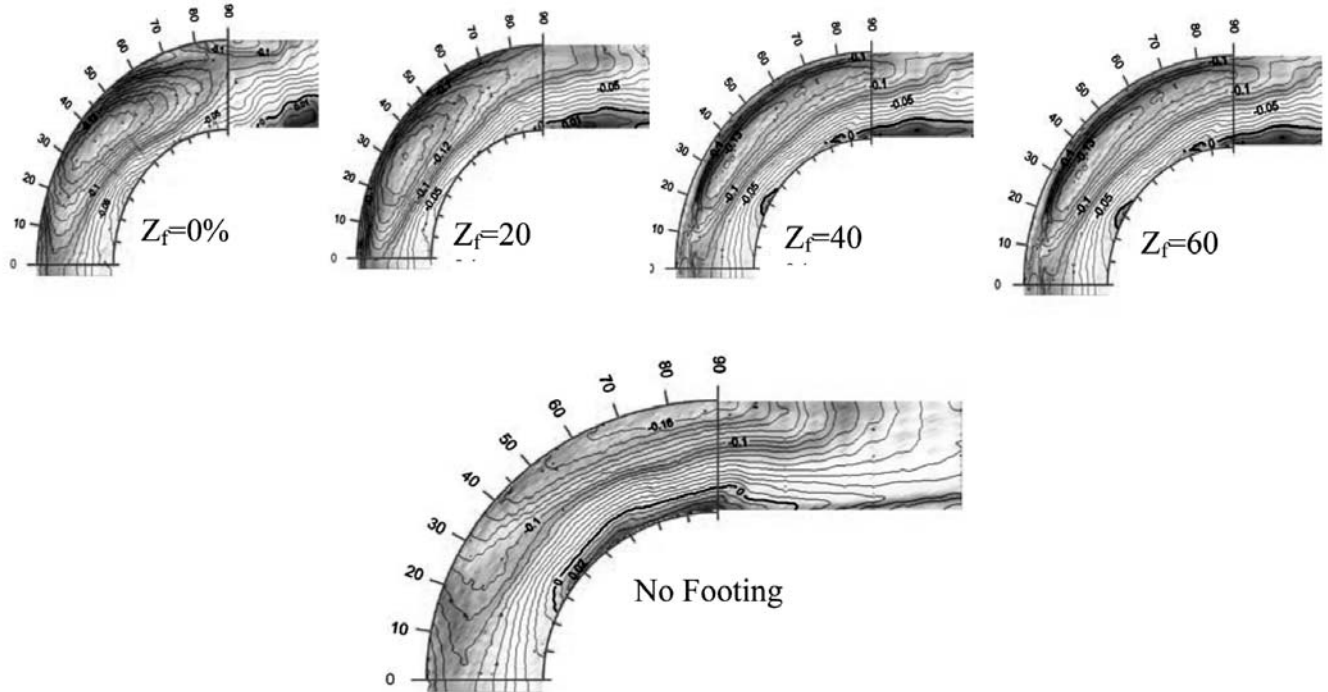
نتایج گوناگون به دست آمده از فرسایش در حالت بدون تیغه و با تیغه افقی که در شکل (۷) آمده، نشان می‌دهد که با افزایش عمق کارگذاری تیغه، تاثیر تیغه افقی در یکنواخت کردن توپوگرافی بیش‌تر است، ولی به طور کلی تاثیر تیغه افقی بر کاهش موضعی فرسایش کاملاً معنی دار است.

در جدول (۴) درصدهای کاهش بیش‌ترین فرسایش در مجاورت دیواره قوس خارجی نسبت به حالت بدون تیغه آمده است.

با توجه به نتایج جدول (۴) در عمق کارگذاری صفر درصد (b/ha= 0.375) میزان کاهش فرسایش ۲۹/۸ درصد است. برای عمق کارگذاری ۴۰ درصد، میزان کاهش بیش‌ترین عمق فرسایش در مجاورت دیواره قوس خارجی ۴۴/۵ درصد نسبت به حالت بدون تیغه بوده که بیش‌ترین تاثیر بر کاهش فرسایش را در تمامی آزمایش‌ها نشان می‌دهد. از سوی دیگر تاثیر این تیغه سهم به سزاوی بر یکنواخت کردن بستر دارد. نتایج بدست آمده از فرسایش برای تیغه افقی به عرض ۷۵ میلیمتر گوناگون در مجاورت

جدول ۴- بیشینه عمق فرسایش در مجاورت دیواره قوس خارجی نسبت به عمق‌های کارگذاری

عمق کارگذاری	No footing	Footing width=75mm	
	بیشینه عمق فرسایش در مجاورت دیواره (سانتیمتر)	بیشینه عمق فرسایش در مجاورت دیواره (سانتیمتر)	درصد کاهش فرسایش نسبت به بدون تیغه
Zf=0%		۱۲	۲۹/۸
Zf=20%	17/1	۱۰/۶	۳۸
Zf=40%		۹/۵	۴۴/۵
Zf=60%		۱۰/۸	۳۶/۸



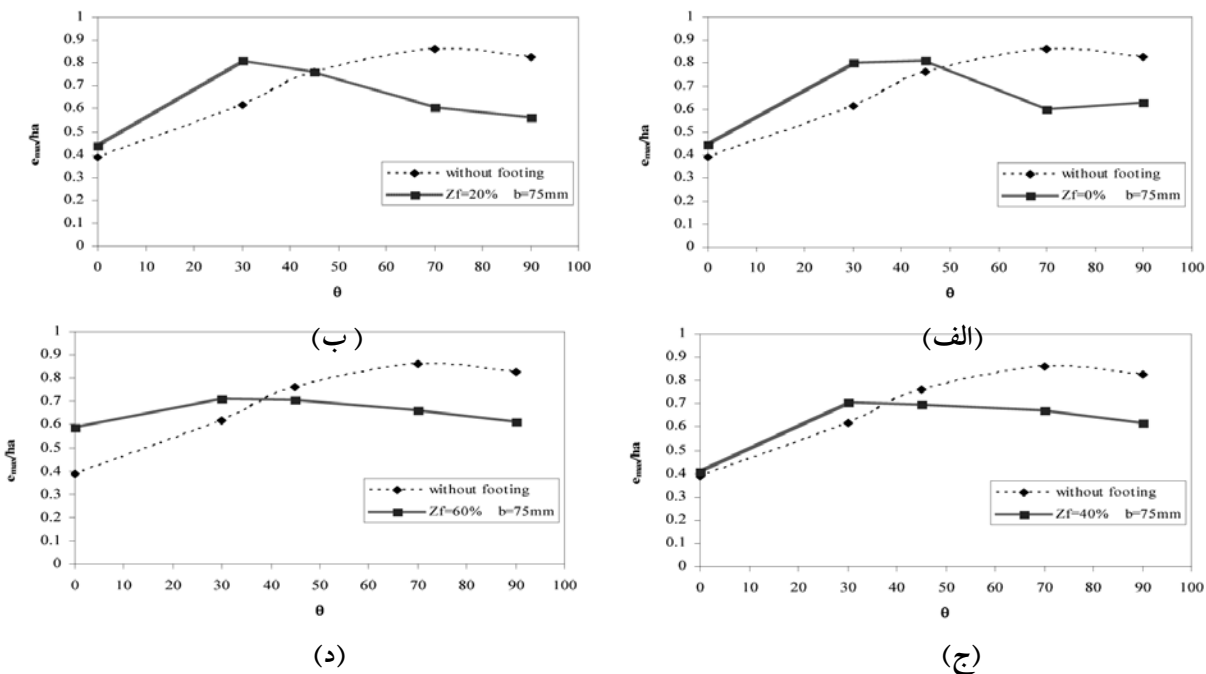
شکل ۹ - توپوگرافی بستر در تیغه افقی ۷۵ میلی متری در اعمق مختلف کارگذاری و در حالت بدون تیغه

براساس نتایج جدول (۵) در بیشتر مقاطع عرضی با احداث تیغه افقی، بیشینه‌ی عمق آبستنگی کاهش یافته است و این در حالی است که برای مقاطع عرضی ورودی به قوس (زاویه‌ی صفر درجه) تا زاویه‌ی حدود ۴۰ درجه بیشینه‌ی عمق آبستنگی افزایش نشان داده است که دلیل آن را می‌توان در بوجود آمدن جریان پیچشی عمودی در نیمه‌ی نخست قوس به علت احداث تیغه افقی دانست. در شکل (۱۰) نتایج بدست آمده از پارامتر بدون تیغه و با تیغه افقی با مقابله زاویه‌ی مرکزی قوس برای حالت بدون تیغه و با تیغه افقی با اعماق کارگذاری متفاوت آمده است.

رخداده است و این در حالی است که با احداث تیغه افقی بیشینه‌ی عمق آبستنگی از کناره فاصله گرفته و به وسط مقاطع متمایل می‌شود، که دلیل این موضوع احداث دیواره صلب به عنوان تیغه افقی بوده که به لحاظ فرسایش، دیواره را محافظت می‌نماید. با توجه به نتایج بدست آمده در عمق کارگذاری ۴۰ درصد بیشینه‌ی عمق آبستنگی پس از رسیدن به زمان تعادل بستر کمترین میزان و یکنواختی بستر بیشترین میزان بوده است. در جدول (۵) نتایج حاصل از بیشینه‌ی عمق آبستنگی در آزمایش‌ها مختلف آمده است که با استفاده از نتایج این جدول پارامترهای بدون بعد موثر در این پدیده محاسبه شده است.

جدول ۵- بیشینه‌ی عمق آبستنگی در مقاطع عرضی مختلف قوس در حالت بدون تیغه و با تیغه افقی

without footing			Zf=0% b=75mm		Zf=20% b=75mm		Zf=40% b=75mm		Zf=60% b=75mm	
θ	e _{max} (mm)	e _{max} /ha								
۰	۰/۰۷۸	۰/۳۹	۰/۰۸۹	۰/۴۴۵	۰/۰۸۸	۰/۴۴	۰/۰۸۲	۰/۴۱	۰/۱۱۷	۰/۵۸۵
۳۰	۰/۱۲۳	۰/۶۱۵	۰/۱۶	۰/۸	۰/۱۶۲	۰/۸۱	۰/۱۴۱	۰/۷۰۵	۰/۱۴۲	۰/۷۱
۴۵	۰/۱۵۲	۰/۷۶	۰/۱۶۲	۰/۸۱	۰/۱۵۲	۰/۷۶	۰/۱۳۹	۰/۶۹۵	۰/۱۴۱	۰/۶۶
۷۰	۰/۱۷۲	۰/۸۶	۰/۱۲	۰/۶	۰/۱۲۱	۰/۶۰۵	۰/۱۳۴	۰/۶۷	۰/۱۳۲	۰/۶۶
۹۰	۰/۱۶۵	۰/۸۲۵	۰/۱۲۶	۰/۶۳	۰/۱۱۲	۰/۵۶	۰/۱۲۳	۰/۶۱۵	۰/۱۲۲	۰/۶۱

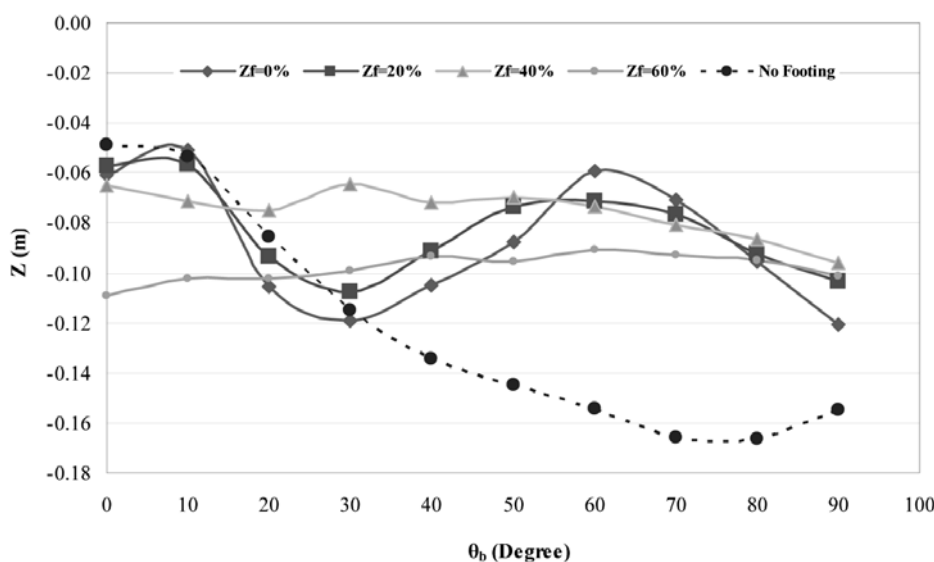


شکل ۱۰ - تغییرات پارامتر بیشینه‌ی عمق آبشنستگی در مقاطع گوناگون عرضی قوس برای حالت بدون تیغه و با تیغه‌ی افقی
 (الف) با عمق کارگذاری ۰ درصد
 (ب) با عمق کارگذاری ۲۰ درصد
 (د) با عمق کارگذاری ۶ درصد
 (ج) با عمق کارگذاری ۴۰ درصد

حدود ۴۰ درجه، نسبت به حالت بدون تیغه کمی بیش تر بوده و در زاویه‌های بزرگتر به میزان شایان توجهی بیشینه‌ی عمق آبشنستگی کاهش می‌یابد. دلیل این موضوع را می‌توان به ایجاد جریان‌های پیچشی در اثر احداث تیغه در بازه‌های ابتدایی قوس دانست، لازم به توضیح است که این موضوع برای عمق کارگذاری ۴۰ درصد نسبت به سایر اعماق کارگذاری بسیار کمتر بوده که گواهی برای کارکرد بهتر این عمق کارگذاری است. شکل (۱۱) تغییرات طولی آبشنستگی را در مجاورت دیواره‌ی قوس خارجی برای تمامی اعماق کارگذاری

در شکل (۱۰) در تمامی نمودارها می‌توان بیشینه‌ی عمق آبشنستگی حالت بدون تیغه و با تیغه‌ی افقی را مقایسه نمود. همان‌گونه که در این شکل مشاهده می‌شود، با قراردادن تیغه‌ی افقی چاله‌ی فرسایشی به نیمه‌ی نخست قوس منتقل می‌شود و این در حالی است که در حالت بدون تیغه بیش ترین چاله‌ی فرسایشی در نیمه دوم قوس می‌باشد.

از سوی دیگر، با مقایسه نمودارها می‌توان نتیجه گیری نمود که با احداث تیغه‌ی افقی، بیشینه‌ی عمق آبشنستگی در زاویه‌ی کم تر از



شکل ۱۱ - فرسایش در مجاورت دیواره‌ی قوس خارجی برای تمامی اعماق کارگذاری تیغه و حالت بدون تیغه

نتیجه‌گیری

- استفاده از تیغه‌ی افقی مشخصا در کاهش عمق فرسایش و یکنواخت نمودن توپوگرافی بستر تاثیری معنی دار دارد.
- نتایج بدست آمده از این پژوهش نشان داد که استفاده از تیغه‌ی افقی در بالاترین و پایین ترین عمق کارگذاری لزوما در کاهش عمق فرسایش بیشترین تاثیر را نداشته و این در حالی است که به طور کلی استفاده از تیغه‌ی افقی نسبت به حالت بدون تیغه به میزان شایان توجهی فرسایش را در نیمه‌ی دوم قوس و در مجاورت دیواره قوس خارجی کاهش می‌دهد.
- نتایج گوناگون بدست آمده از فرسایش، در حالت بدون تیغه و با تیغه‌ی افقی نشان می‌دهد که برای عمق کارگذاری صفر درصد، تاثیر تیغه‌ی افقی در یکنواخت کردن توپوگرافی بستر ناچیز است، ولی به طور کلی تاثیر تیغه‌ی افقی بر کاهش موضعی فرسایش کاملاً معنی دار می‌باشد.
- برای تیغه‌ی افقی با پارامتر b/ha برابر با $0/375$ بیشترین عمق فرسایش در مجاورت دیواره قوس خارجی برای عمق‌های کارگذاری مختلف بین 30 تا 44 درصد، نسبت به حالت بدون تیغه کاهش نشان داده است.
- در حالت بدون تیغه‌ی افقی بیشینه‌ی عمق آبستستگی (e_{\max}) در مجاورت دیواره قوس خارجی و در نیمه‌ی دوم قوس رخ داده است و این در حالی است که با احداث تیغه‌ی افقی بیشینه‌ی عمق آبستستگی از مجاورت دیواره فاصله گرفته و به وسط مقطع متمايل و همچنین به نیمه‌ی نخست قوس منتقل می‌شود. عمق کارگذاری 40 درصد، کارایی بهینه را برای دو حالت در پی داشت: $1)$ بیشترین کاهش عمق آبستستگی بستر در مجاورت دیواره قوس خارجی نسبت به حالت بدون تیغه $2)$ بیشترین میزان یکنواختی توپوگرافی بستر.
- برای مقاطع عرضی ورودی به قوس (از زاویه‌ی صفر تا حدود 40 درجه) با احداث تیغه‌ی افقی، بیشینه‌ی عمق آبستستگی افزایش می‌یابد که دلیل آن بوجود آمدن جریان پیچشی عمودی در بدو احداث تیغه است.
- بیشترین کاهش عمق آبستستگی در کنار تیغه‌ی افقی و یا در مجاورت دیواره قوس خارجی با عمق کارگذاری 40 درصد به

و همچنین حالت بدون تیغه نمایش می‌دهد.

همان‌گونه که از شکل (۱۱) مشخص است، انتقال چاله‌ی فرسایشی در حالت تیغه‌ی افقی نسبت به حالت بدون تیغه، در مجاورت قوس خارجی به ابتدای قوس تا زاویه‌ی حدود 30 درجه رخ داده است و برای زوایای بیشتر از آن تاثیر کاهش فرسایش (در مجاورت دیواره قوس خارجی) با قرارگیری تیغه‌ی افقی بسیار چشمگیر است.

تمامی روابط بدون بعد حاکم بر پدیده‌ی اثر تیغه‌ی افقی در کاهش فرسایش بستر در مقاطع عرضی گوناگون (زاویه‌های مختلف) محاسبه شده که به دلیل زیاد بودن محاسبه‌ها و جدول‌ها، نمونه‌ای از آنها برای زاویه‌ی 70 درجه در جدول (۶) آورده شده است.

در جدول (۶)، ستون نخست مربوط به برنامه‌ی آزمایش‌ها، ستون دوم نسبت عمق کارگذاری به ارتفاع آب بالادست، ستون سوم عمق کارگذاری تیغه‌ی افقی به بیشینه‌ی عمق آبستستگی در حالت بدون تیغه‌ی افقی، ستون چهارم نسبت عرض تیغه‌ی افقی به ارتفاع آب بالادست، ستون پنجم درصد کاهش بیشینه‌ی عمق آبستستگی تیغه‌ی افقی در مقایسه با حالت بدون تیغه برای زاویه‌ی 70 درجه و ستون ششم نسبت بیشینه‌ی عمق آبستستگی به ارتفاع آب بالادست جریان است.

روکا و همکاران [۱۰] در پژوهش‌های مشابهی در یک فلوم با قوس 186 درجه، اثر تیغه‌ی افقی را بر تغییرات سطح بستر بررسی کردند. نتایج بدست آمده از پژوهش آنان نشان می‌دهد که در اثر به کارگیری تیغه‌ی افقی محل چاله‌ی فرسایشی به سمت ابتدای قوس جابه‌جایی پیدا می‌کند. با این که عدد فرود در آزمایش‌ها روکا و این پژوهش یکسان و در حدود $4/40$ بوده، بیشترین کاهش عمق فرسایش در آزمایش‌های آنان در حدود 40 درصد گزارش شده که در مقایسه با این پژوهش ($44/5$ درصد) مقدار کوچک‌تری است که البته به دلیل زاویه‌ی بیشتر قوس در آزمایش‌های روکا و همکاران (186 درجه) بوده است. آنها همچنین گزارش داده‌اند که به کارگیری تیغه‌ی افقی، به ویژه با عمق بهینه، در یکنواخت نمودن سطح بستر تاثیری به سزا دارد، بنابراین به کارگیری تیغه‌ی افقی در قوس 90 درجه (این پژوهش) و قوس 186 درجه دارای اثرات مشابهی است.

جدول ۶- محاسبه‌ی روابط بدون بعد موثر در تاثیر تیغه‌ی افقی بر کاهش فرسایش بستر در زاویه‌ی 70 درجه

Type	Zf/ha	Zf/ $e_{\max}(w)$	b/ha	1- $(e_{\max}/e_{\max}(w))\%$	e_{\max}/ha
without footing	---	--	----	---	$0/186$
Zf=0% b=75mm	•	•	$0/375$	$27/27$	$0/16$
Zf=20% b=75mm	$0/144$	$0/174$	$0/375$	$26/67$	$0/605$
Zf=40% 75mm	$0/283$	$0/343$	$0/375$	$18/79$	$0/67$
Zf=60% b=75mm	$0/432$	$0/524$	$0/375$	$20/100$	$0/66$

Scouring, Hydraulic Structure Design Manual, No.2, IAHR, Balkema, 143pp.

6- Dasilva, A.M. 1995. Turbulent flow in sin-generated meandering channels. Ph.D. thesis. Dept of Civil Engineering., Queen's's university.kingsatone Canada.

7- Dasilva, A.M. and Yaline, M.S. 1997. Laboratory measurement in sin-generated meandering channels. Journal of hydraulic engineering, vol.125, no 2, pp.13491.

8- Hoffmans, G.J. 1997. Scour manual. A.A. Balkema, Rotterdam, the Netherlands.

9- Odgaard, A.J. and Berges, M.A. 1987. Stream bank protection by submerged vanes. J.Hydraul, eng., 113(4), 520-536.

10- Roca, M., Martin-Vide, J.P. and Blankaert, K. 2007. Reduction of bend score by an outer bank footing: footing design and bed topography. J. Hydraulic Engineering. February 2007, Volume 133, Number 2.

11- Singh, C.P., Setia, B. and Verma, D.V.S. 2001. Collar-sleeve combination as a scour protection device around a circular pier. Proceedings of Theme D, 29th Congress on hydraulics of river, water works and machinery, Chinese hydraulic engineering Society, Beijing, China. September 16-21, 202-209.

12- U.S. Army Corps of Engineers (USACE). 1994. Hydraulic design of flood control channels; engineer manual 1110-2-1601 Washington, D.C

13- Yen, C.L. and Lee, K.T. 1995. Bed topography and sediment sorting in channel bend with unsteady flow .J. Hydraulic. Engrg. 121 (8), 589-599.

14- Zarrati, A.M., Gholami, H. and Mashahir, M.B. 2004. Application of collar to control scouring around rectangular piers Journal of hydraulic research, IAHR, 42 (1): 97-103.

وقوع می پیوندد. در این حالت صفحه افقی باعث کاهش ۴۴/۵ درصدی فرسایش دیواره خارجی (در مقایسه با عدم کارگذاری تیغه افقی) در دبی ۴۵ لیتر بر ثانیه می گردد.

- با توجه به نتایج به دست آمده اختلاف آبشتگی بین دیواره خارجی و داخلی در عمق کارگذاری ۶۰ درصد نسبت به سایر عمق های کارگذاری بیشتر بوده به گونه ای که روند تغییرات توپوگرافی بستر به صورت پیوسته صورت گرفته است و این در حالی است که برای عمق کارگذاری صفر درصد این روند تغییرات به صورت افزایشی و کاهشی در مقاطع با زاویه ۱۵ و ۶۵ درجه قوس می باشد.

- با کم کردن عمق کارگذاری، فرسایش در ابتدای قوس بیشتر شده و در انتهای قوس کم می شود، بنابراین سطح بستر دارای یکنواختی کمتری می گردد.

- با افزایش عمق نصب نسبت به عمق بهینه کارگذاری، هر چند سطح بستر یکنواخت می ماند، ولی عمق فرسایش از ابتدای انتهای قوس بیشتر می شود.

تشکر و قدردانی

بخشی از هزینه های این طرح از سوی دفتر تحقیقات و استانداردهای شبکه های آبیاری و زهکشی سازمان آب و برق خوزستان، قرارداد شماره ۱۳۰۲-۰۱-۰۸۷، تامین شده است که بدین وسیله تشکر و قدردانی می گردد.

منابع

۱- دهقانی، ا.، قدسیان، م.، صالحی نیشابوری، س.ع.ا. و شفیعی فر، م. ۱۳۸۶. بررسی تغییرات بستر کانال های آبرفتی در قوس ۱۸۰ درجه. مجله هیدرولیک ایران ص ۱-۱۶

۲- صالحی، س.ع.ا. و اقبالزاده، ا. ۱۳۸۱. بررسی اثر جریان بر توپوگرافی بستر در قوس. ششمین سمینار بین المللی مهندسی رودخانه، دانشگاه شهید چمران اهواز، ص ۵۶۷-۵۷۴.

۳- Berges, M.A. 1990. Flow process in curved alluvial channel. Ph.D. Thesis, Iowa University, USA, 366P.

۴- Blancaert, K. and Graf, W.H. 2001 .Mean flow and turbulence in open- channel bend. Journal of hydraulic engineering, vol.127, no 10, pp.835-847.

۵- Breusers, H.N.C. and Raudkivi, A.J. 1991.